

ЭКСПЕРИМЕНТАЛЬНОЕ НАБЛЮДЕНИЕ ИНТЕРФЕРЕНЦИИ ПРОЦЕССОВ ТРЕХ- И ПЯТИВОЛНОВОГО СМЕШЕНИЯ ПРИ ГЕНЕРАЦИИ ВТОРОЙ ОПТИЧЕСКОЙ ГАРМОНИКИ В РАСТВОРЕ БАКТЕРИОРОДОПСИНА

А.В.Балакин, Д.Буше¹⁾, Н.И.Коротеев²⁾, П.Масселин^{*1)}, А.В.Пакулов,
Э.Фертеин^{*1)}, А.П.Шкуринов

Московский государственный университет им. М.В.Ломоносова
119899 Москва, Россия

* Laboratoire de PhysicoChimie de l'Atmosphère, Université du Littoral
59379 Dunkerque Cedex 1, France

Поступила в редакцию 10 октября 1996 г.

Исследован процесс генерации фемтосекундной второй гармоники в растворе бактериородопсина. Показано, что ее поведение может быть объяснено наличием когерентной интерференции нескольких вкладов от процессов трех- и пятиволнового смешения ($\chi^{(2)}$ и $\chi^{(4)}$). Определены величина и фаза электронной восприимчивости среди четвертого порядка $\chi^{(4)}$ по отношению к $\chi^{(2)}$.

PACS: 42.65.-k

1. В настоящей работе мы представляем экспериментальные результаты по генерации второй гармоники (ВГ) фемтосекундными лазерными импульсами в супензии произвольно ориентированных фрагментов пурпурных мембран (ПМ) *Halobacterium halobium*, содержащих бактериородопсин (БР), обладающий хиральными свойствами. Исследованный нами сигнал ВГ из объема данной супензии проявил чувствительность к правой-левой циркулярным поляризациям входного излучения. Впервые была зарегистрирована когерентная интерференция двух нелинейных оптических процессов в сигнале на частоте ВГ, которые были идентифицированы как процессы трех- и пятиволнового смешения. Одновременно мы определили относительные фазу и величину нелинейных оптических восприимчивостей, порождающих эти два вклада в сигнал ВГ.

2. Процессы генерации второй гармоники, суммарной и разностной частот, основанные на оптических нелинейностях второго порядка $\chi^{(2)}$, широко используются для исследования кристаллов, тонких пленок и поверхностей различных материалов [1]. Для центросимметричных сред макроскопическая симметрия накладывает строгие ограничения на генерацию ВГ и другие когерентные процессы, происходящие с участием дипольных нелинейных восприимчивостей четных порядков [2,3], делая их запрещенными. Эти процессы могут проявляться только при учете квадрупольных и магнитодипольных нелинейных восприимчивостей [4]. Однако в случае, когда изотропные среды содержат зеркально-асимметричные (хиральные) молекулы, не имеющие центра инверсии, в нерацемической концентрации учет нелинейных дипольных восприимчивостей четных порядков становится существенным при рассмотрении вышеизложенных процессов [5].

¹⁾D.Boucher, P.Masselin, E.Fertein.

²⁾e-mail: koroteev@nik.phys.msu.su

До недавних пор были опубликованы лишь две экспериментальные работы, в которых сообщалось о наблюдении генерации хирально-чувствительных ВГ и суммарной частоты, связанных с дипольной нелинейной восприимчивостью второго [6] и четвертого [7] порядков в нецентросимметричных растворах *d*- и *l*-арабинозы. В этой связи большой интерес представляет появление в последние годы серии экспериментальных работ по изучению процесса ГВГ в суспензии произвольно ориентированных фрагментов пурпурных мембран *Halobacterium halobium*, содержащих БР [8–10]. Однако природа данного сигнала в настоящее время является предметом активного обсуждения в литературе [11,12].

3. В наших экспериментах использовалась водная суспензия пурпурных мембран *Halobacterium halobium*, приготовленная стандартным методом в фосфатном буфере с рН 7.35 [13] и затем подвергнутая дополнительной ультразвуковой обработке для дальнейшего измельчения мембран. Оптическая плотность исходного образца составляла $\text{ОП}_{580\text{ нм}} = 0.2$. Средний размер фрагментов мембран, определенный при помощи АФМ-микроскопа [14], составил около 50 нм. Дополнительная фрагментация мембран представляет собой принципиальное отличие наших экспериментов от уже упомянутых выше более ранних экспериментальных работ по генерации ВГ в суспензии ПМ, поскольку в последних типичные размеры единичных фрагментов ПМ были сопоставимы с длиной волны используемого света (0.5 мкм) и содержали десятки тысяч молекул БР [13], тогда как в нашем случае их число могло быть оценено, по крайней мере, на два порядка ниже.

В качестве источника излучения использовались генератор фемтосекундных импульсов на титанате сапфира и регенеративный усилитель, обеспечивающие энергию 4 мкДж в импульсе на длине волны 820 нм при длительности импульса 300 фс и частоте следования 200 кГц. В наших экспериментах исследовалась зависимость энергии сигнала ВГ от энергии импульса возбуждения. Последняя плавно изменялась с помощью комбинации двух призм Глана–Тейлора, расположенных на выходе регенеративного усилителя. Исследования были проведены для различных состояний поляризации излучения накачки, которые устанавливались при помощи двойного ромба Френеля (ДРФ) в паре с одинарным ромбом Френеля (ОРФ), стоящих последовательно друг за другом. При повороте ДРФ на угол $\varphi/2$ вокруг оси, совпадающей с направлением распространения луча, поляризация фемтосекундного излучения после прохождения ОРФ изменялась по закону: $e_x \cos(\varphi) + e_y i \sin(\varphi)$, где e_x и e_y – единичные орты, образующие плоскость, перпендикулярную оси вращения ДРФ (для определенности назовем их вертикальным и горизонтальным ортами, соответственно), i – мнимая единица. При $\varphi = 0^\circ$ излучение имело линейную вертикальную поляризацию, которая переходила в правую круговую при $\varphi = 45^\circ$, далее в линейную горизонтальную при $\varphi = 90^\circ$, затем в левую круговую при $\varphi = 135^\circ$ и снова в линейную вертикальную при $\varphi = 180^\circ$, проходя последовательно все возможные значения эллиптичности. Таким образом, на выходе из ОРФ мы получали лазерное излучение с плавно изменяемыми энергией (от 0 до 1.2 мкДж/имп.) и состоянием поляризации. Исследуемый образец был помещен в спектроскопическую кювету, изготовленную из плавленного кварца и имеющую канал 10×2.5 мм. Излучение накачки фокусировалось вдоль длиной стороны кюветы при помощи линзы с фокусным расстоянием 17 см, обеспечивающей угол сходимости пучка внутри кюветы приблизительно 2° . Пучок ВГ после коллимации с помощью кварцевой линзы пропускал-

ся через кварцевую призму Глана–Тейлора, зафиксированную в положении, пропускающем вертикально поляризованный свет. Применение анализатора позволило избежать влияния поляризационной зависимости пропускания решеток спектрографа. После предварительной спектральной фильтрации с помощью фильтра СЗС-21 излучение ВГ направлялось в спектрограф (Chromex 500IS). Регистрация сигнала ВГ осуществлялась ПЗС-камерой (Princeton Instruments Inc), охлаждаемой жидким азотом. Время накопления сигнала в одной точке составляло 30 с.

4. В этой статье мы не обсуждаем необычные поляризационные свойства сигнала ВГ, а также не занимаемся выяснением физической природы наблюдаемого эффекта, оставляя эти вопросы для последующих публикаций. Отметим, однако, тот факт, что для различных состояний входной поляризации мы не зарегистрировали каких-либо существенных изменений в спектральном профиле сигнала ВГ.

В настоящей работе мы бы хотели сконцентрировать внимание на обсуждении энергетических зависимостей, полученных в наших экспериментах. На рис.1 приведены зависимости энергии импульса ВГ $W_{2\omega}$ от энергии возбуждающего лазерного импульса W_ω . Кривые были получены для двух состояний линейной (вертикальной и горизонтальной) поляризации и для правого и левого циркулярно поляризованных пучков основной частоты. Различные типы точек представляют на рис.1 экспериментальные данные, сплошные линии – результат теоретической привязки (см. ниже).

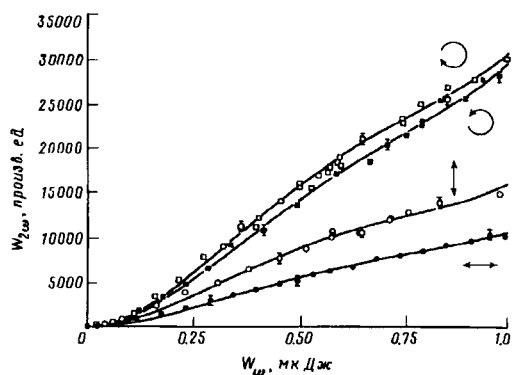


Рис.1. Зависимость энергии генерации второй гармоники в водной суспензии пурпурных мембран, содержащих бактериородопсин ($\lambda_\omega = 820$ нм; $\lambda_{2\omega} = 410$ нм), от энергии импульсов накачки для случаев линейной (вертикальной и горизонтальной), и круговой (правой и левой) поляризаций входного излучения накачки. Выходной анализатор находится в вертикальном положении

Как видно из рис.1, в наших экспериментах зарегистрирована чувствительность интенсивности сигнала ВГ в суспензии БР к направлению вращения круговой поляризации пучков накачки. Кроме того, на экспериментальных кривых можно выделить два различных участка. При низкоэнергетическом возбуждении (< 0.2 мкДж/имп) экспериментальные данные описываются квадратичной зависимостью сигнала ВГ от энергии возбуждающего излучения (начальный участок кривых на рис.1). При превышении уровня 0.2 мкДж/имп появляется дополнительный вклад, который более отчетливо проявляется при больших энергиях импульса возбуждения. Заслуживает внимания и тот факт, что ВГ не обращается в нуль при возбуждении образца линейно поляризованным светом с горизонтальной поляризацией, когда выходной анализатор "скрещен" с поляризацией пучка основной частоты. Существование данного сигнала не может быть отнесено только на счет упругого рассеяния пучка ВГ

на фрагментах мембран, поскольку этот эффект был незначителен. Указанный факт свидетельствует о тензорном характере процесса генерации ВГ.

5. Теоретическое описание сложных экспериментальных зависимостей базируется на предположении, что регистрируемый сигнал на частоте ВГ порожден, по крайней мере, двумя когерентными источниками. Излучение основной частоты с интенсивностью I_ω и комплексной амплитудой поля E_ω индуцирует в среде две интерферирующие между собой волны нелинейной поляризации с амплитудами $P_{NL}^{(2)}(2\omega) = \chi^{(2)}E^2(\omega)$ и $P_{NL}^{(4)}(2\omega) = \chi^{(4)}E^3(\omega)E^*(\omega)$. Таким образом, полная нелинейная поляризация среды может быть записана в виде

$$P_{NL}(2\omega) = P_{NL}^{(2)}(2\omega) + P_{NL}^{(4)}(2\omega), \quad (1)$$

где $P_{NL}^{(2)}$ и $P_{NL}^{(4)}$ представляют комплексные электронные поляризации, соответствующие восприимчивостям $\chi^{(2)}$ и $\chi^{(4)}$; интенсивность сигнала ВГ $I_{2\omega} \propto |P_{NL}(2\omega)|^2$. Комплексность нелинейных восприимчивостей вызвана наличием резонансного поглощения на частоте ВГ:

$$\chi^{(2)} = |\chi^{(2)}| \exp(i\alpha_1), \quad \chi^{(4)} = |\chi^{(4)}| \exp(i\alpha_2) \quad (2)$$

На рис.2 значения комплексных амплитуд индуцированных волн нелинейной поляризации представлены как векторы на комплексной плоскости. Интенсивность сигнала ВГ в этом случае можно записать:

$$I_{2\omega} \propto |P_{NL}(2\omega)|^2 \propto I_\omega^2 + 2 \frac{|\chi^{(4)}|}{|\chi^{(2)}|} \cos(\alpha) I_\omega^3 + \left(\frac{|\chi^{(4)}|}{|\chi^{(2)}|} \right)^2 I_\omega^4, \quad (3)$$

где $\alpha = \alpha_2 - \alpha_1$ отражает фазовый сдвиг между комплексными значениями $\chi^{(2)}$ и $\chi^{(4)}$ согласно (2).

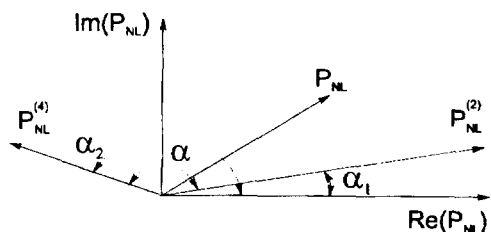


Рис.2. Относительное положение векторов поляризации $P^{(2)}$ и $P^{(4)}$ на комплексной плоскости

Очевидно, измеренные в наших экспериментах величины энергий импульсов основной частоты W_ω и ВГ $W_{2\omega}$ связаны с соответствующими интенсивностями $I_{\omega,2\omega} = \gamma W_{\omega,2\omega}$ при помощи коэффициента $\gamma = 1/\tau A$, где τ – длительность импульса и A – площадь сечения пучка в перетяжке. Для процедуры аппроксимации равенство (3) может быть записано как параметрическое уравнение:

$$y = a(x^2 + 2b \cos(\alpha)x^3 + b^2x^4), \quad (4)$$

где $y = W_{2\omega}$, $x = W_\omega$ (измеренные в мкДж), $b = \gamma|\chi^{(4)}|/|\chi^{(2)}|$, a – масштабный параметр.

При построении по экспериментальным данным подгоночных кривых с помощью уравнения (4) согласно методу нелинейной регрессии (сплошные линии на рис.1) были получены следующие значения для параметров α и b :

$\alpha = 153 \pm 2^\circ$ и $b = 0.08 \pm 0.002$ мкДж. Нам представляется весьма важным тот факт, что численные значения параметров α и b (а следовательно, и $|\chi^{(4)}|/|\chi^{(2)}|$) оказались одинаковыми для всех поляризационных наборов, в то время как только параметр a отражает поляризационную зависимость и различен для разных кривых.

Основную погрешность в определение значения $|\chi^{(4)}|/|\chi^{(2)}|$ вносит неточность измерения площади перетяжки пучка основной частоты. Полагая, что на входе в фокусирующую линзу пучок имеет гауссово распределение профиля, измеряя исходную расходимость излучения и диаметр пучка на линзе, мы оценили эффективное значение диаметра пучка внутри кюветы с образцом ≈ 20 мкм в условиях данного эксперимента. С учетом того, что длительность импульса возбуждения, измеренная автокорреляционным методом, была равна 300 фс, получаем $|\chi^{(4)}|/|\chi^{(2)}| \approx 4 \cdot 10^{-10}$ СГСЕ. Фактически, это "оценка снизу", так как сферическая и хроматическая аберрации фокусирующей линзы приводят к увеличению диаметра перетяжки пучка и, соответственно, к увеличению отношения $|\chi^{(4)}|/|\chi^{(2)}|$.

6. С помощью специально поставленных экспериментов мы убедились в том, что сигнал ВГ генерируется в объеме исследуемого образца, а не на поверхности кюветы. Тем самым, природа зарегистрированного нами сигнала была иной, нежели сигнала ВГ, наблюдавшегося в экспериментах [15–17] от хиральных поверхностей. Для этих целей мы измерили сигнал ВГ в геометрии "на прохождение" при двух значениях угла падения света на кювету: 0° и 45° (в обоих случаях энергия импульсов возбуждения была равна 1 мкДж). Никаких существенных отличий в интенсивностных и поляризационных свойствах сигнала в этих двух случаях не наблюдалось. Отсюда следует, что регистрируемый сигнал не может быть приписан процессу генерации ВГ на поверхностной дипольной нелинейности, а обусловлен, в основном, процессом генерации ВГ в объеме образца.

7. Таким образом, в представленной работе мы сообщаем о наблюдении и исследовании процесса генерации второй гармоники фемтосекундных импульсов в специально приготовленной суспензии измельченных пурпурных мембран, содержащих бактериородопсин. Впервые обнаружено, что сигнал ВГ состоит из двух интерферирующих вкладов, генерируемых в объеме образца БР на частоте ВГ. Один из них возникает благодаря трем (базируется на $\chi^{(2)}$), другой – пяти (базируется на $\chi^{(4)}$) волновым процессам. Мы обнаружили, что генерируемый в объеме раствора БР сигнал ВГ чувствителен к состоянию поляризации входного пучка. Интенсивность сигнала ВГ различна для правого и левого циркулярно поляризованного света. Из зависимости энергии сигнала ВГ от энергии импульса основной частоты были определены следующие характеристики для БР:

- 1) фазовый сдвиг между комплексными величинами $\chi^{(2)}$ и $\chi^{(4)}$: $\alpha = 153 \pm 2^\circ$;
- 2) отношение амплитуд нелинейных восприимчивостей $|\chi^{(4)}|/|\chi^{(2)}| \geq 4 \cdot 10^{-10}$ СГСЕ.

Авторы благодарны В.А.Макарову, С.Н.Волкову за плодотворные дискуссии.

Работа выполнена при частичной поддержке РФФИ (93.02.15-026, 96.03.34067) и фирмы Samsung Electronics Co.

1. И.Р.Шен, *Принципы нелинейной оптики*, М.: Мир, 1989 (Y.R.Shen, *The Principles of Nonlinear Optics*, Wiley, New York, 1984).

2. С.А.Ахманов, Р.В.Хохлов, *Проблемы нелинейной оптики*, М.: Изд. АН СССР, 1964.
3. J.A.Giordmaine, Phys. Rev. A¹³⁸, 1599 (1965).
4. B.Koopmans, A.-M.Janner, H.T.Jonkman et al., Phys. Rev. Lett. **71**, 3569 (1993).
5. Н.И.Коротеев, ЖЭТФ **106**, 1260 (1994).
6. P.M.Rentzepis, J.A.Giordmaine and K.W.Wecht, Phys. Rev. Lett. **16**, 792 (1966).
7. A.P.Shkurinov, A.V.Dubrovskii, and N.I.Koroteev, Phys. Rev. Lett. **70**, 1085 (1993).
8. P.K.Schmidt and G.W.Rayfield, Appl. Opt. **33**, 4289 (1994).
9. Q.Song, C.Wan, and C.K.Johnson, J. Phys. Chem. **98**, 1999 (1994).
10. P.Allcock, D.L.Andrews, S.R.Meech, and A.J.Wigman, Phys. Rev. A⁵³, 2788 (1996).
11. E.Hendrickx, K.Clays, A.Persoons et al. J. Am. Chem. Soc. **117**, 3547 (1995).
12. D.L.Andrews, P.Allcock, and A.A.Demidov, Chem. Phys. **190**, 1 (1995).
13. T.A.Ceska and R.Henderson, J. Mol. Biol. **213**, 539 (1990).
14. G.Binning, C.F.Quate, and Ch.Gerber, Phys. Rev. Lett. **62**, 930 (1986).
15. J.D.Byers, H.I.Lee, T.Petralli-Mallow, and J.M.Hicks, J. Phys. Chem. **97**, 1383 (1993).
16. J.D.Byers, H.I.Lee, and J.M.Hicks, J. Chem. Phys. **101**, 6233 (1994).
17. T.Verbiest, M.Kauranen, A.Persoons et al. J. Am. Chem. Soc. **116**, 9203 (1994).